

Análisis de Datos para Ciberseguridad: Trabajo práctico 1

Alonso Araya Calvo

Pedro Soto

Sofia Oviedo

Instituto Tecnológico de Costa Rica,
Escuela de Ingeniería en Computación,
Programa de Maestría en Ciberseguridad

24 de agosto de 2025

En este trabajo practico se realiza un análisis y implementación de un árbol de decisión para el set de datos KDD99.

Para efectos del proyecto se tomo un dataset reducido de KDD99, el cual contiene 10 % de los datos originales. En el cual se va tomar en cuenta solamente las clases 'normal' que indica trafico normal y 'backdoor' que indica trafico malicioso. Ademas de eso se creo una versión filtrada del dataset, sin duplicados, filas sin valores y datos categóricos convertidos a numéricos mediante one-hot-encoding como lo son 'protocol type', 'service' y 'flag'.

Se realizo un análisis de los momentos estadísticos de las características del dataset, así como el calculo de la distancia jensen-shannon, histogramas comparativos y la creación, evaluación y análisis de un árbol de decisión.

Se utilizo librerías como numpy, pandas, matplotlib, scipy, pytorch y sklearn para los métodos creados para el trabajo.

1. Análisis descriptivo de las características en el conjunto

1.1. Momentos estadísticos

Se calculó la media, desviación estándar, inclinación y kurtosis por medio de funciones de la librería pytorch.

Los resultados para el conjunto de datos de ataque y normal fueron los siguientes:

Cuadro 1: Momentos Estadísticos para el set de ataque

| | Media | Desviación Estándar | Inclinación | Kurtosis |
|-----------------------------|--------------|---------------------|-------------|------------|
| duration | 0.293388 | 1.660627 | 6.201858 | 39.309826 |
| src_bytes | 53666.890625 | 4722.463867 | -6.375225 | 42.617065 |
| dst_bytes | 8129.908203 | 919.138550 | -5.915853 | 35.871830 |
| land | 0.000000 | 0.000000 | 0.000000 | -3.000000 |
| wrong_fragment | 0.000000 | 0.000000 | 0.000000 | -3.000000 |
| urgent | 0.000000 | 0.000000 | 0.000000 | -3.000000 |
| hot | 1.917355 | 0.314076 | -3.661317 | 15.021400 |
| num_failed_logins | 0.000000 | 0.000000 | 0.000000 | -3.000000 |
| logged_in | 1.000000 | 0.000000 | 0.000000 | -3.000000 |
| num_compromised | 0.924587 | 0.264193 | -3.210891 | 8.318419 |
| root_shell | 0.000000 | 0.000000 | 0.000000 | -3.000000 |
| su_attempted | 0.000000 | 0.000000 | 0.000000 | -3.000000 |
| num_root | 0.000000 | 0.000000 | 0.000000 | -3.000000 |
| num_file_creations | 0.000000 | 0.000000 | 0.000000 | -3.000000 |
| num_shells | 0.000000 | 0.000000 | 0.000000 | -3.000000 |
| num_access_files | 0.000000 | 0.000000 | 0.000000 | -3.000000 |
| num_outbound_cmds | 0.000000 | 0.000000 | 0.000000 | -3.000000 |
| is_host_login | 0.000000 | 0.000000 | 0.000000 | -3.000000 |
| is_guest_login | 0.000000 | 0.000000 | 0.000000 | -3.000000 |
| count | 3.524793 | 1.762356 | 2.291119 | 13.455750 |
| srv_count | 3.829545 | 2.044711 | 2.924108 | 17.374548 |
| serror_rate | 0.006002 | 0.047452 | 9.006940 | 85.688736 |
| srv_serror_rate | 0.006519 | 0.048729 | 8.545023 | 77.689178 |
| rerror_rate | 0.077944 | 0.174668 | 2.812351 | 9.046575 |
| srv_rerror_rate | 0.133843 | 0.206010 | 1.671782 | 2.774177 |
| same_srv_rate | 0.997717 | 0.024070 | -10.881998 | 121.573830 |
| diff_srv_rate | 0.004587 | 0.048423 | 10.929219 | 122.999672 |
| srv_diff_host_rate | 0.117965 | 0.243028 | 2.022636 | 3.229588 |
| dst_host_count | 146.418396 | 90.726547 | -0.056618 | -1.562307 |
| dst_host_srv_count | 146.418396 | 90.726547 | -0.056618 | -1.562307 |
| dst_host_same_srv_rate | 1.000000 | 0.000000 | 0.000000 | -3.000000 |
| dst_host_diff_srv_rate | 0.000000 | 0.000000 | 0.000000 | -3.000000 |
| dst_host_same_src_port_rate | 0.023202 | 0.078893 | 9.197856 | 101.049896 |
| dst_host_srv_diff_host_rate | 0.000000 | 0.000000 | 0.000000 | -3.000000 |
| dst_host_serror_rate | 0.002035 | 0.005504 | 3.185214 | 11.143164 |
| dst_host_srv_serror_rate | 0.002035 | 0.005504 | 3.185214 | 11.143164 |
| dst_host_rerror_rate | 0.063564 | 0.110032 | 4.960103 | 31.944805 |
| dst_host_srv_rerror_rate | 0.063564 | 0.110032 | 4.960103 | 31.944805 |
| flag_OTH | 0.000000 | 0.000000 | 0.000000 | -3.000000 |
| flag_REJ | 0.000000 | 0.000000 | 0.000000 | -3.000000 |
| flag_RSTO | 0.000000 | 0.000000 | 0.000000 | -3.000000 |

Continúa en la siguiente página

Cuadro 1: Momentos Estadísticos para el set de ataque

| | Media | Desviación Estándar | Inclinación | Kurtosis |
|--------------------|----------|---------------------|-------------|------------|
| flag_RSTR | 0.092975 | 0.290548 | 2.798880 | 5.839768 |
| flag_S0 | 0.000000 | 0.000000 | 0.000000 | -3.000000 |
| flag_S1 | 0.002066 | 0.045431 | 21.897779 | 478.006714 |
| flag_S2 | 0.005165 | 0.071721 | 13.784595 | 188.209549 |
| flag_S3 | 0.000000 | 0.000000 | 0.000000 | -3.000000 |
| flag_SF | 0.899793 | 0.300431 | -2.658721 | 5.074041 |
| protocol_type_icmp | 0.000000 | 0.000000 | 0.000000 | -3.000000 |
| protocol_type_tcp | 1.000000 | 0.000000 | 0.000000 | -3.000000 |
| protocol_type_udp | 0.000000 | 0.000000 | 0.000000 | -3.000000 |
| service_IRC | 0.000000 | 0.000000 | 0.000000 | -3.000000 |
| service_X11 | 0.000000 | 0.000000 | 0.000000 | -3.000000 |
| service_auth | 0.000000 | 0.000000 | 0.000000 | -3.000000 |
| service_domain | 0.000000 | 0.000000 | 0.000000 | -3.000000 |
| service_domain_u | 0.000000 | 0.000000 | 0.000000 | -3.000000 |
| service_eco_i | 0.000000 | 0.000000 | 0.000000 | -3.000000 |
| service_ecr_i | 0.000000 | 0.000000 | 0.000000 | -3.000000 |
| service_finger | 0.000000 | 0.000000 | 0.000000 | -3.000000 |
| service_ftp | 0.000000 | 0.000000 | 0.000000 | -3.000000 |
| service_ftp_data | 0.000000 | 0.000000 | 0.000000 | -3.000000 |
| service_http | 1.000000 | 0.000000 | 0.000000 | -3.000000 |
| service_ntp_u | 0.000000 | 0.000000 | 0.000000 | -3.000000 |
| service_other | 0.000000 | 0.000000 | 0.000000 | -3.000000 |
| service_pop_3 | 0.000000 | 0.000000 | 0.000000 | -3.000000 |
| service_private | 0.000000 | 0.000000 | 0.000000 | -3.000000 |
| service_red_i | 0.000000 | 0.000000 | 0.000000 | -3.000000 |
| service_shell | 0.000000 | 0.000000 | 0.000000 | -3.000000 |
| service_smtp | 0.000000 | 0.000000 | 0.000000 | -3.000000 |
| service_ssh | 0.000000 | 0.000000 | 0.000000 | -3.000000 |
| service_telnet | 0.000000 | 0.000000 | 0.000000 | -3.000000 |
| service_tftp_u | 0.000000 | 0.000000 | 0.000000 | -3.000000 |
| service_tim_i | 0.000000 | 0.000000 | 0.000000 | -3.000000 |
| service_time | 0.000000 | 0.000000 | 0.000000 | -3.000000 |
| service_urh_i | 0.000000 | 0.000000 | 0.000000 | -3.000000 |
| service_urp_i | 0.000000 | 0.000000 | 0.000000 | -3.000000 |

Cuadro 2: Momentos Estadísticos para el set de trafico normal

| | Media | Desviación Estándar | Inclinación | Kurtosis |
|-----------------------------|-------------|---------------------|-------------|--------------|
| duration | 188.932388 | 1320.953003 | 10.840396 | 164.942474 |
| src_bytes | 1270.249146 | 36017.765625 | 59.171658 | 3578.733887 |
| dst_bytes | 3720.620850 | 39526.839844 | 70.640572 | 6578.882324 |
| land | 0.000011 | 0.003374 | 296.354523 | 87825.000000 |
| wrong_fragment | 0.000000 | 0.000000 | 0.000000 | -3.000000 |
| urgent | 0.000034 | 0.010123 | 296.354523 | 87825.000000 |
| hot | 0.049299 | 0.903317 | 24.367807 | 661.993713 |
| num_failed_logins | 0.000205 | 0.021867 | 130.644180 | 19413.707031 |
| logged_in | 0.792627 | 0.405427 | -1.443531 | 0.083783 |
| num_compromised | 0.031606 | 4.258875 | 176.780899 | 33631.015625 |
| root_shell | 0.000262 | 0.016180 | 61.770962 | 3813.695068 |
| su_attempted | 0.000194 | 0.018170 | 100.561958 | 10543.062500 |
| num_root | 0.062119 | 4.767146 | 176.494781 | 33756.796875 |
| num_file_creations | 0.005226 | 0.213528 | 88.129669 | 9105.999023 |
| num_shells | 0.000490 | 0.022121 | 45.161217 | 2037.558350 |
| num_access_files | 0.005533 | 0.085450 | 26.301615 | 1401.320801 |
| num_outbound_cmds | 0.000000 | 0.000000 | 0.000000 | -3.000000 |
| is_host_login | 0.000000 | 0.000000 | 0.000000 | -3.000000 |
| is_guest_login | 0.004224 | 0.064855 | 15.288565 | 231.742828 |
| count | 8.850578 | 18.486605 | 9.788823 | 142.604019 |
| srv_count | 11.906981 | 22.699772 | 7.060920 | 74.169861 |
| serror_rate | 0.001757 | 0.029323 | 25.426783 | 760.219543 |
| srv_serror_rate | 0.001987 | 0.027964 | 24.495110 | 742.421814 |
| rerror_rate | 0.054141 | 0.225442 | 3.945983 | 13.596252 |
| srv_rerror_rate | 0.054467 | 0.224103 | 3.948063 | 13.673273 |
| same_srv_rate | 0.985932 | 0.090632 | -6.837379 | 47.955101 |
| diff_srv_rate | 0.017889 | 0.115964 | 6.952574 | 49.550980 |
| srv_diff_host_rate | 0.146088 | 0.287653 | 2.198094 | 3.573772 |
| dst_host_count | 139.642456 | 102.324249 | -0.025722 | -1.709513 |
| dst_host_srv_count | 203.544830 | 85.431877 | -1.390772 | 0.345991 |
| dst_host_same_srv_rate | 0.853141 | 0.295919 | -1.947228 | 2.358836 |
| dst_host_diff_srv_rate | 0.046478 | 0.155643 | 4.126388 | 16.291719 |
| dst_host_same_src_port_rate | 0.122985 | 0.260985 | 2.556218 | 5.319210 |
| dst_host_srv_diff_host_rate | 0.025484 | 0.049551 | 5.760909 | 61.377747 |
| dst_host_serror_rate | 0.002349 | 0.030955 | 23.755972 | 625.237610 |
| dst_host_srv_serror_rate | 0.001183 | 0.016544 | 43.771297 | 2172.942871 |
| dst_host_rerror_rate | 0.056157 | 0.221028 | 3.890001 | 13.396219 |
| dst_host_srv_rerror_rate | 0.054160 | 0.214456 | 3.889613 | 13.448563 |
| flag_OTH | 0.000011 | 0.003374 | 296.354523 | 87825.000000 |
| flag_REJ | 0.052999 | 0.224033 | 3.990454 | 13.923891 |

Continúa en la siguiente pagina

Cuadro 2: Momentos Estadísticos para el set de trafico normal

| | Media | Desviación Estándar | Inclinación | Kurtosis |
|--------------------|----------|---------------------|-------------|--------------|
| flag_RSTO | 0.000751 | 0.027402 | 36.438213 | 1325.758545 |
| flag_RSTR | 0.000353 | 0.018784 | 53.199570 | 2828.226562 |
| flag_S0 | 0.000581 | 0.024090 | 41.462498 | 1717.157349 |
| flag_S1 | 0.000615 | 0.024788 | 40.292236 | 1621.482056 |
| flag_S2 | 0.000194 | 0.013911 | 71.856895 | 5161.471680 |
| flag_S3 | 0.000080 | 0.008927 | 112.000023 | 12542.145508 |
| flag_SF | 0.944417 | 0.229117 | -3.879347 | 13.049479 |
| protocol_type_icmp | 0.010156 | 0.100263 | 9.771049 | 93.474449 |
| protocol_type_tcp | 0.862886 | 0.343970 | -2.109964 | 2.451977 |
| protocol_type_udp | 0.126958 | 0.332928 | 2.240950 | 3.021888 |
| service_IRC | 0.000478 | 0.021862 | 45.696457 | 2086.190186 |
| service_X11 | 0.000102 | 0.010122 | 98.771362 | 9753.889648 |
| service_auth | 0.002505 | 0.049985 | 19.905418 | 394.229889 |
| service_domain | 0.000034 | 0.005844 | 171.094513 | 29271.669922 |
| service_domain_u | 0.061754 | 0.240710 | 3.641234 | 11.258711 |
| service_eco_i | 0.002915 | 0.053909 | 18.441393 | 338.088837 |
| service_ecr_i | 0.002015 | 0.044846 | 22.208370 | 491.216827 |
| service_finger | 0.005328 | 0.072801 | 13.589488 | 182.676331 |
| service_ftp | 0.004247 | 0.065029 | 15.246999 | 230.473495 |
| service_ftp_data | 0.043230 | 0.203376 | 4.491819 | 18.176649 |
| service_http | 0.693176 | 0.461179 | -0.837738 | -1.298210 |
| service_ntp_u | 0.003302 | 0.057366 | 17.316536 | 297.865479 |
| service_other | 0.045940 | 0.209356 | 4.337631 | 16.815239 |
| service_pop_3 | 0.000888 | 0.029787 | 33.511395 | 1121.026367 |
| service_private | 0.016657 | 0.127983 | 7.553180 | 55.051144 |
| service_red_i | 0.000011 | 0.003374 | 296.354523 | 87825.000000 |
| service_shell | 0.000011 | 0.003374 | 296.354523 | 87825.000000 |
| service_smtp | 0.109277 | 0.311988 | 2.504704 | 4.273590 |
| service_ssh | 0.000011 | 0.003374 | 296.354523 | 87825.000000 |
| service_telnet | 0.002493 | 0.049872 | 19.951149 | 396.052734 |
| service_tftp_u | 0.000011 | 0.003374 | 296.354523 | 87825.000000 |
| service_tim_i | 0.000023 | 0.004772 | 209.550690 | 43909.996094 |
| service_time | 0.000398 | 0.019958 | 50.063965 | 2504.429199 |
| service_urh_i | 0.000159 | 0.012624 | 79.186501 | 6268.572266 |
| service_urp_i | 0.005032 | 0.070761 | 13.989758 | 193.715500 |

Como se observan de las tablas anteriores es posible notar algunas diferencias entre las características.

En este caso se podrían destacar los siguientes puntos a continuación.

1.1.1. Promedio

- La media de 'duration' en el set de trafico normal es mucho mayor que en el set de ataque. Indicando que las conexiones maliciosas son mucho mas cortas.
- Los ataques de tipo 'backdoor' envían una mayor cantidad de 'src.bytes' y reciben una mayor cantidad de 'dst.bytes' en promedio que las conexiones normales. Se podría decir que sugiere que los atacantes están enviando payloads maliciosos y extrayendo mas información de lo habitual.
- Se puede observar como 'logged_in' tiene una media de 1 en el set de ataque, lo que indica que las conexiones maliciosas se realizaron por medio de conexiones autenticadas.
- En el trafico normal, características como 'hot' y 'num_compromised' tienen una media baja, lo que indica que en la mayoría de las conexiones normales no se intentan realizar acciones sospechosas al contrario de las conexiones maliciosas.
- Curiosamente en características como 'su_attempted' y 'num_root' tienen una media mayor en el trafico normal que en el trafico malicioso. Lo que podría indicar que los atacantes no intentan escalar privilegios o que lo hacen por otros medios, siendo un posible punto a investigar ya que lo común sería observar intentos de escalamiento de privilegios en el trafico malicioso.

1.1.2. Desviación Estándar

- En una gran mayoría de características, la desviación estándar es baja en el lado del trafico de ataques, indicando que son mas precisos y consistentes, dando paso a un patrón predecible para utilizar en un clasificador. Los ataques normales si presentan una desviación que indica que sus valores están distribuidos de manera mas dispersa.
- En el lado normal es posible ver como casi ninguna desviación es 0, mientras que en el ataque existen una gran cantidad de características con valor de 0 o casi cero.
- Se da una gran desviación en el trafico normal en características como 'duration', 'src.bytes' y 'dst.bytes', lo que indica que las conexiones normales tienen una mayor variabilidad en su duración y en la cantidad de datos enviados y recibidos, siendo mas 'humana'.

1.1.3. Inclinación

- En el trafico normal existe una inclinación mucho mas positiva que el trafico maliciosos, tendiendo a tener una cola hacia la derecha. Es posible ver eso en campos como 'duration', 'src.bytes' y 'dst.bytes'.
- En el trafico malicioso, la inclinación tiende a ir cerca de cero o negativo, siendo distribuciones mas concentradas en comparación al trafico normal.

1.1.4. Kurtosis

- El trafico normal presenta una kurtosis alta en campos como 'duration', 'src_bytes' y 'dst_bytes', lo que podría concluir que tiene picos mas agudos y valores dispersos.
- El trafico malicioso es mas uniforme ya que la kurtosis es mucho mas moderada.

1.1.5. Conclusiones Generales

- Los ataques de tipo backdoor son mas constantes y precisos, sugiriendo que el trafico se enfoca en realizar acciones por medio de automatizaciones y ataques similares generando un patrón que podría ser de uso para detectar ataques.
- Los ataques se concentran en áreas especificas por ejemplo el uso del servicio HTTP y protocolo TCP casi que exclusivamente siendo algo sospechoso al ver el trafico normal y ver que utilizar una gran cantidad de servicios y protocolos.
- El trafico normal dada su distribución dispersa se podría concluir que es indicadora de ser mas 'natural' y no ser generado por un atacante.
- Existen campos como 'duration', 'src_bytes', 'dst_bytes', 'logged_in' y 'num_compromised', ademas de los diferentes servicios y protocolos, que se presentan como los campos mas característicos por utilizar para poder realizar clasificaciones.
- Dada la diferencia y patrones reconocibles entre los diferentes tráficoes se podría decir que esto es un buen candidato para un algoritmo de clasificación, dados sus patrones marcados.

2. Histogramas y Distancia Jensen-Shannon

En esta parte del trabajo se realizo la generación de histogramas para todas las características del dataset y se creo cada histograma con los datos del dataset normal y del dataset de ataque con el fin de poder observar diferencias entre los dos conjuntos de datos y sus campos.

Finalmente se calculo la distancia Jensen-Shannon entre los histogramas de los diferentes campos del dataset normal y del dataset de ataque y se genero una tabla con las distancias calculadas para cada campo.

2.1. Histogramas

Los histogramas fueron generados mediante la extracción de los valores de los dataframes de ataque y trafico normal, y se genero un histograma para cada campo mediante el uso de la función 'hist' de matplotlib.

A continuación se muestran unos ejemplos de los histogramas generados para los campos 'duration', 'src_bytes' y 'dst_bytes'.

En el notebook de la solución se pueden apreciar todos los histogramas generados.

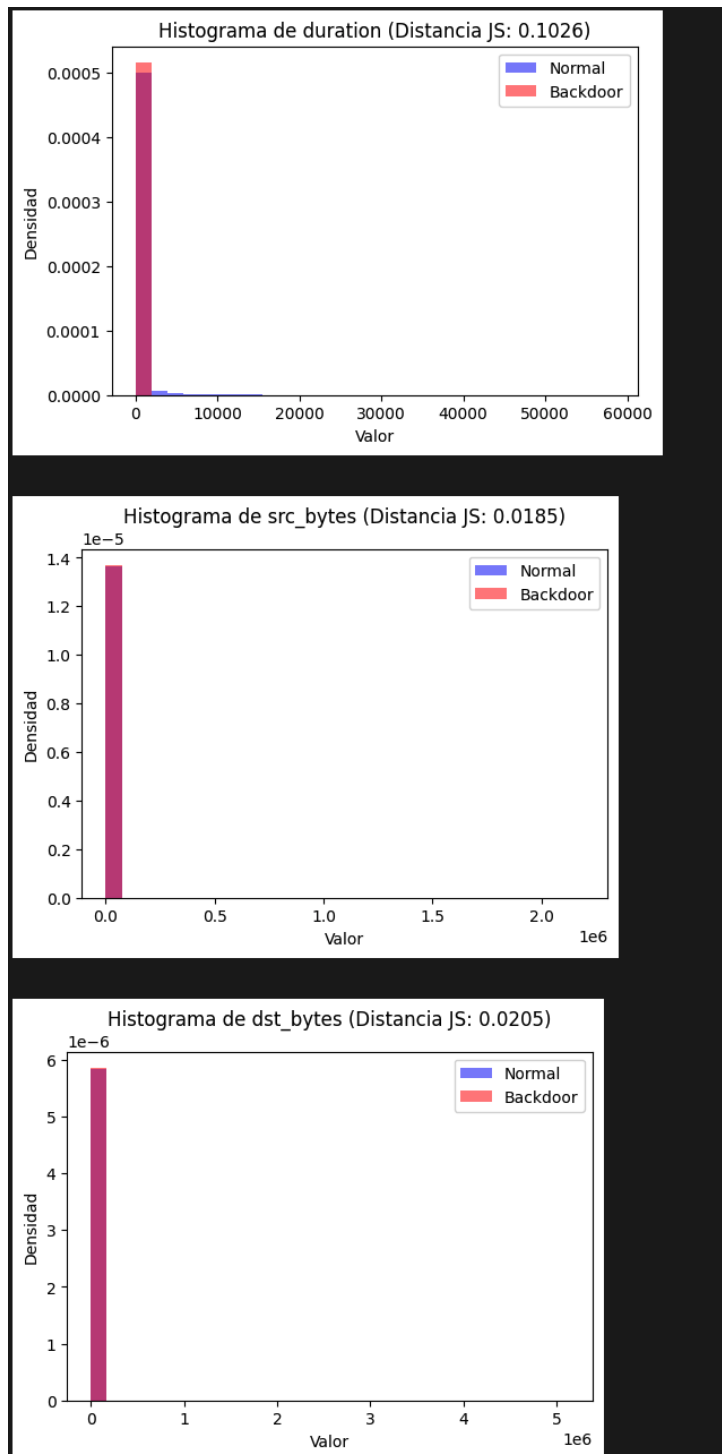


Figura 1: Histograma para el campo 'duration', 'src_bytes' y 'dst_bytes'

Como se observan en los histogramas presentados existen características continuas como lo pueden ser 'duration', 'src.bytes' y 'dst.bytes' que presentan distribuciones con colas largas. Cambien existen características binarias como lo pueden ser 'logged_in' que presentan distribuciones binarias en las que es posible ver la diferencia entre el trafico normal y el trafico de ataques. Así como los campos generados de los servicios y protocolos que muestran distribuciones discretas. Ademas se puede observar como una gran cantidad de características presentan distribuciones asimétricas como en el caso de campos que son de tipo conteos o tasas.

2.2. Distancia Jensen-Shannon

Cuadro 3: Resumen de Distancias Jensen Shannon

| | Feature | DistanciaJS |
|----|-----------------------------|-------------|
| 6 | hot | 0.813179 |
| 37 | dst_host_srv_error_rate | 0.466678 |
| 36 | dst_host_error_rate | 0.459732 |
| 24 | srv_error_rate | 0.373477 |
| 60 | service_http | 0.346864 |
| 30 | dst_host_same_srv_rate | 0.328221 |
| 29 | dst_host_srv_count | 0.298668 |
| 33 | dst_host_srv_diff_host_rate | 0.297726 |
| 27 | srv_diff_host_rate | 0.285225 |
| 23 | error_rate | 0.284472 |
| 8 | logged_in | 0.279071 |

En la tabla anterior podemos ver una tabla resumida con los campos que contienen las mayores distancias Jensen-Shannon. En el código de la implementación es posible ver la tabla completa pero se muestran los mas significativos de ejemplo en este documento.

Este numero nos ayuda a ver que tan diferentes son las distribuciones de los campos entre la clase normal y backdoor.

Como se aprecia en la tabla, el campo 'hot' al tener una distancia alta, indica que las distribuciones son muy diferentes entre la clase normal y la clase backdoor.

Las siguientes serian algunos campos de tipo de tasa de errores, se podría interpretar de esto que los ataques backdoor generan tipos de errores que no son comunes en el trafico normal, dada las acciones que realizan los ataques.

En cuanto a campos de servicios y protocolos, se muestran algunas con distancias moderadas y altas, como por ejemplo 'service.http' y protocolos como 'tcp' y 'udp' que muestran una distancia moderada indicando diferencias en el uso de los mismos.

Existen algunas características con distancia de cero, que indican que no son útiles para ser utilizadas para ser usadas como diferenciador entre clases ya que tienen una distribución casi idéntica en ambos conjuntos de datos.

2.3. Conclusiones Generales

- Mediante los histogramas y la distancia Jensen-Shannon es posible identificar las características que deberían ser tomadas como prioridad para el árbol de decisión, ya que son las mas discriminativas.
- Características con duración de cero pueden ser eliminadas ya que no son necesarias al ser idénticas en ambos conjuntos y no proveer de datos útiles para el entrenamiento.
- Utilizar las características con una distancia alta podrían ser útiles a usar como umbral ya que podrían separar mejor las clases.
- Se denota que los ataques backdoor tienen como características mas distintivas el uso de servicios como HTTP y protocolos como TCP, así como el valor 'hot' y indicadores de error.

3. Árbol de Decisión

En esta sección del trabajo se realizo la creación de las funciones mas importantes para el arbol de decisión, como el calculo de Gini, selección de características y creación de los nodos y hojas, así como pruebas unitarias para esta función.

3.1. Calculo de Gini

Para el calculo de Gini se utilizo la siguiente función:

```
1      def calculate_gini(self, data_partition_torch,
2          num_classes=2):
3          if data_partition_torch.numel() == 0:
4              return 0.0
5
6          class_counts =
7              torch.bincount(data_partition_torch, minlength=num_classes)
8              .float()
9          proportions = class_counts / class_counts.sum()
10         gini_score = 1.0 - torch.sum(proportions ** 2)
11         return gini_score.item()
```

Esta función se encarga de calcular el coeficiente de Gini para una partición dada de un dataset y provista de un numero de clases, en nuestro caso se deja de defecto el numero dos dado que se trabaja con normal y backdoor.

Se utiliza funciones de pytorch como 'bincount' para contar las ocurrencias de cada clase en la partición y 'sum' para obtener la suma de las ocurrencias, esto permite evitar el uso de bucles y se realiza una normalización matricial para obtener el resultado. Ademas de esto se implementan protecciones ante valores anómalos como un tensor vacío para evitar divisiones por cero.

Se realizan dos pruebas unitarias de esta manera:

```

1     node = NodeCart(num_classes=2)
2     ones_tensor = torch.tensor([1, 1, 1, 1])
3     gini = node.calculate_gini(ones_tensor, num_classes=2)
4     assert gini == 0.0, f"Se esperaba 0.0, se obtuvo {gini}"
5     print("Test 1 Gini Pasado")
6
7     variable_tensor = torch.tensor([0, 1, 2, 3])
8     gini = node.calculate_gini(variable_tensor, num_classes=4)
9     assert gini == 0.75, f"Se esperaba 0.75, se obtuvo {gini}"
10    print("Test 2 Gini Pasado")

```

La primera prueba se encarga de generar un tensor con valores de las mismas clases, esto con el fin de generar un Gini de 0 y poder verificar que el resultado es el esperado.

La segunda prueba es un tensor multiclase con lo que se espera un valor de 0.75 indicando la impureza para las cuatro clases.

Por medio de la función `assert` se verifica que el resultado es el esperado y se imprime un mensaje de éxito, si no este generaría una `exception` de tipo `AssertionError`.

3.2. Selección de Características

Para la selección de características se utilizo la siguiente función:

```

1 def select_best_feature_and_thresh(self, data_torch, num_classes=2):
2     features = data_torch[:, :-1]
3     labels = data_torch[:, -1].long()
4
5     best_gini = float('inf')
6     best_feature = None
7     best_thresh = None
8
9     for feature_idx in range(features.shape[1]):
10        feature_values = features[:, feature_idx]
11        unique_values = torch.unique(feature_values, sorted=True)
12
13        for i in range(len(unique_values) - 1):
14            threshold = (unique_values[i] + unique_values[i + 1]) / 2
15
16            left_mask = feature_values < threshold
17            right_mask = ~left_mask
18
19            if left_mask.sum() == 0 or right_mask.sum() == 0:
20                continue
21
22            left_labels = labels[left_mask]
23            right_labels = labels[right_mask]
24
25            weighted_gini = self.weighted_gini(left_labels, right_labels, num_classes)
26
27            if weighted_gini < best_gini:
28                best_gini = weighted_gini
29                best_feature = feature_idx
30                best_thresh = threshold.item()
31
32    return best_thresh, best_feature, best_gini

```

La función se encarga de buscar todas las características disponibles y considerar todos los umbrales posibles. Esta función utiliza solo bucles para iterar sobre las características y los umbrales posibles, para realizar las iteraciones de manera eficiente se utiliza indexación lógica para crear las mascarar. Además de eso también cuenta con medidas de protección ante división por cero o splits vacíos que no sirvan para el calculo.

Por medio del calculo de gini y sus promedios ponderados se busca el mejor umbral para la característica y se devuelve el mejor gini, característica y threshold encontrado.

3.3. Ponderado de Gini

Para el ponderado de Gini se utilizo la siguiente función:

```
1 def weighted_gini(self, left_side, right_side, num_classes=2):
2     n = left_side.numel() + right_side.numel()
3     if n == 0:
4         return 0.0
5     gini_left = self.calculate_gini(left_side, num_classes)
6     gini_right = self.calculate_gini(right_side, num_classes)
7     return (left_side.numel() / n) * gini_left + (right_side.numel() / n) * gini_right
```

Esta función calcula el gini ponderado por medio del uso de la función de calculo de gini mencionada anteriormente y el calculo mediante la formula de ponderado proporcionada. Se utiliza la función numel para obtener el numero de elementos de cada lado y se realiza la ponderación mediante la formula y los datos obtenidos de la puntuación gini y el total de elementos. Este recibe los datos de cada lado extraído de la función de selección de características.

3.4. Creación de Nodos y Hojas

Para la creación de nodos y hojas se utilizo la siguiente función:

```
1 def create_with_children(self, data_torch, current_depth, min_gini=0.000001):
2     labels = data_torch[:, -1].long()
3
4     self.dominant_class = torch.mode(labels)[0].item()
5     self.gini = self.calculate_gini(labels, self.num_classes)
6
7     list_selected_features = []
8
9     if (current_depth >= self.ref_cart.get_max_depth() or
10         data_torch.shape[0] <= self.ref_cart.get_min_observations() or
11         self.gini <= min_gini):
12         return list_selected_features
13
14     threshold, feature_idx, min_gini_split = self.select_best_feature_and_thresh(data_torch, self.num_classes)
15
16     if feature_idx is None or min_gini_split >= self.gini:
17         return list_selected_features
18
19     self.feature_num = feature_idx
20     self.threshold_value = threshold
21
22     list_selected_features.append(feature_idx)
23
24     features = data_torch[:, :-1]
25     feature_values = features[:, feature_idx]
26
27     left_mask = feature_values < threshold
28     right_mask = ~left_mask
29
30     left_data = data_torch[left_mask]
31     right_data = data_torch[right_mask]
32
33     if left_data.shape[0] > 0:
34         self.node_left = NodeCart(self.num_classes, self.ref_cart, current_depth + 1)
35         left_features = self.node_left.create_with_children(left_data, current_depth + 1, min_gini)
36         list_selected_features.extend(left_features)
37
38     if right_data.shape[0] > 0:
39         self.node_right = NodeCart(self.num_classes, self.ref_cart, current_depth + 1)
40         right_features = self.node_right.create_with_children(right_data, current_depth + 1, min_gini)
41         list_selected_features.extend(right_features)
42
43     return list_selected_features
```

Esta función es la encargada de poder construir de manera recursiva el árbol de decisión, tiene dentro de ella la lógica para determinar por medio de un conjunto de datos si debe crear alguna hoja o un nodo hijo.

Esta fase espera un tensor de pytorch la cual extrae la clase mas frecuente para usarla como clase dominante por medio de la función torch.mode y se calcula el gini para el nodo.

Siguiendo con la función esta tiene como criterio de parada la profundidad máxima del arbol, si detecta un numero de muestras menor al esperado o si el gini ya es lo

suficientemente bajo, esto hace que se prevenga el overfitting y terminar la función de una manera mas inteligente.

Después de eso se busca la mejor partición mediante la búsqueda de la mejor característica y umbral, esta parte solo va seguir dividiendo si se encuentra una mejor puntuación de gini, en caso contrario de no mejorar se convierte en una hoja.

Ademas de eso se guarda valores como la característica y el umbral para poder usarlos en el árbol de decisión, ademas de guardar una lista de las características seleccionadas para poder usarlas en el árbol de decisión.

Para las partes finales se realiza la indexación lógica para generar la partición de los datos correctamente, finalmente crean hijos si contiene algún dato, crea nuevos objetos NodeCart para cada hijo y se llama nuevamente a la misma función pero con un incremento de la profundidad, ademas de eso guarda todas las características utilizadas nuevamente y las retorna cuando ya se cumple la función.

3.5. Pruebas Unitarias

Para las pruebas unitarias se utilizaron las siguientes funciones:

- `test_select_best_feature_two_classes`
- `test_select_best_feature_single_class`
- `test_create_with_children_normal_splitting`
- `test_create_with_children_min_gini_condition`

Para la función '`test_select_best_feature_two_classes`' lo que hace es buscar el mejor umbral y característica para un tensor de dos clases. Se tiene una separación perfecta por lo que se espera que se encuentre el umbral y característica correctos y que el gini sea 0 o mayor. Así como validar que no se encuentren valores inválidos.

Para la función '`test_select_best_feature_single_class`' se busca el mejor umbral y característica para un tensor de una sola clase. Ya que es una muestra que no tiene separación ya que solo hay una clase se espera que no encuentre un posible umbral ni característica o si lo encuentra que Gini sea cero o similar pero sin ningún tipo de mejora al tener solo una clase.

Para la función '`test_create_with_children_normal_splitting`' se requiere construir correctamente un árbol con datos separables y que este realmente encuentre una solución. Para ello se provee de un tensor con clases distribuidas de igual manera, para validar el éxito se verificar si retorna una lista de características con al menos una, si el nodo raíz no es hoja, si el nodo raíz tiene los valores de característica y umbral correctamente asignados y si existe algún hijo de cualquier lado.

Para la función '`test_create_with_children_min_gini_condition`' se busca crear un árbol de decisión con un umbral minimo de gini, con el fin de verificar si el parámetro funciona correctamente, para ello se utiliza un tensor de la misma clase y una condición de parada mínima que debería activarse correctamente, en este caso no debería encontrar ningún nodo hijo y el nodo raíz debería ser una hoja, por lo que se espera que no devuelva características y que el Gini sea menor al umbral que fue pasado por parámetros, así como la clase dominante sea la correcta.

3.6. Implementación de Test Cart

Para la implementación de test cart se utilizo la siguiente función:

```
1  def test_cart(tree, testset_torch):
2      if testset_torch.shape[0] == 0:
3          return 0.0
4
5      test_features = testset_torch[:, :-1]
6      true_labels = testset_torch[:, -1].long()
7
8      correct_predictions = 0
9      total_predictions = testset_torch.shape[0]
10
11     for i in range(total_predictions):
12         current_observation = test_features[i]
13         predicted_label = tree.evaluate_input(current_observation)
14         true_label = true_labels[i].item()
15
16         if predicted_label == true_label:
17             correct_predictions += 1
18
19     accuracy = correct_predictions / total_predictions
20     return accuracy
```

Esta función básicamente se encarga de evaluar el árbol de decisión con un conjunto de datos por medio del calculo de la métrica de accuracy. Para ello la función extrae las características del tensor y sus clases, luego se realiza un bucle para evaluar cada observación y se utiliza la función realizada en el código base 'evaluate_input' para su evaluación, esta función se encarga de analizar si es un nodo hoja y retornar la clase dominante o si es interno evaluar a los diferentes hijos. Para calcular el accuracy se utiliza la división entre el numero de predicciones correctas y el numero total de predicciones.

El accuracy lo que permite es medir el rendimiento del modelo y determinar si el árbol aprendió correctamente a poder clasificar los casos que se le presenten, en caso contrario podría indicar overfitting, falta de entrenamiento o algún tipo de error que requiera mas entrenamiento, datos o ajustes al árbol.

Para las pruebas unitarias se realizaron dos las cuales fueron 'test_cart_perfect_predictions' y 'test_cart_invalid_dataset'.

La función 'test_cart_perfect_predictions' se genera un set de datos de entrenamiento y prueba los cuales están formulados para que el resultado para una puntuación alta. El código nada mas espera a que correctamente se devuelva algún accuracy entre 0 y 1, esperando que funcione correctamente.

La función 'test_cart_invalid_dataset' lo que hace es por medio de un tensor con datos vacíos y uno con una sola observación, verificar que el accuracy de un dataset vacío es 0 y que se maneje adecuadamente el caso de una sola observación por medio de la verificación del accuracy retornado.

4. Evaluación de CART

En este apartado se realiza el entrenamiento y pruebas de un árbol de decisión con el dataset KD999 bajo diferentes parámetros.

4.1. Evaluación de máximo 3 y 4 nodos

Para esta prueba se desarrollo una implementación que genera nuevamente un dataset completo mediante la unión de los dataframes de ataque y normal. Lo siguiente seria realizar la evaluación de cada CART con los parámetros de profundidad máxima 3 y 4 y se reportan las métricas de accuracy, f1 score, tiempo de entrenamiento y evaluación, así como los features que fueron utilizados para el entrenamiento.

Cabe recalcar que en esta función no se hizo ningún split de entrenamiento y prueba, por lo que si es posible realizar el proceso de entrenamiento y evaluación, sin embargo al no realizar un split las pruebas no indican que tanto pueda generalizar a elementos por los cuales no fue entrenado.

Para realizar esta parte primero se obtuvo el conjunto de datos completo en la función 'get_cart_kd99_dataset_tensor' que consiste de una union de los dataframes de ataque y normal, y el mapeo de las clases en valores numéricos para poder convertirlo en un tensor de pytorch.

Para poder calcular el f1 score se utilizo la función 'calculate_f1_score' la cual se encarga de calcular el f1 score para cada clase. Esta función evalúa cada clase por separado y genera las métricas de precision, recall y f1 score. Siendo precisión la proporción de predicciones positivas, recall la proporción de casos positivos reales y el F1 siendo la media aritmética de precision y recall. Para finalmente calcular la media simple de los F1 Score de ambas clases.

Para la función principal 'evaluate_cart_completo' esta esta encargada de realizar la creación del árbol, entrenamiento, evaluación bajo el mismo dataset, las predicciones para cada observación y el calculo de las métricas de evaluación.

A continuación se muestra los resultados de una prueba realizada en Google Colab:

```
1  Datos de dataframes originales:
2  - df_no_attacks (normal): 87832 observaciones
3  - df_attacks (backdoor): 968 observaciones
4  - Clase en df_no_attacks: ['normal.']
5  - Clase en df_attacks: ['back.']
6
7  Dataset completo creado:
8  - Total de observaciones: 88800
9  - Numero de características: 75
10 - Observaciones normales: 87832
11 - Observaciones de backdoor: 968
12 - Distribucion de clases: {0: 87832, 1: 968}
13
14 # Evaluacion de CART con profundidad maxima = 3
15 Resultados por clase:
16 - Normal: Precision=0.9999773502349854,
17   Recall=0.9999886751174927, F1=0.999983012676239
```

```

18 - Backdoor: Precision=0.997732400894165,
19     Recall=0.9954751133918762, F1=0.996602475643158
20
21 Resultados de corrida:
22 - Accuracy: 0.9999662162162162 (99.99662162162161%)
23 - F1-Score promedio: 0.9982927441596985
24 - Tiempo de entrenamiento: 48.91265344619751 segundos
25 - Tiempo de evaluacion: 1.4191524982452393 segundos
26 - Caracteristicas seleccionadas: 4
27 - Features utilizadas: [48, 1, 30, 1]
28
29 # Evaluacion de CART con profundidad maxima = 4
30 Resultados por clase:
31 - Normal: Precision=0.9999773502349854,
32     Recall=1.0, F1=0.9999886751174927
33 - Backdoor: Precision=1.0,
34     Recall=0.9954751133918762, F1=0.9977324604988098
35
36 Resultados de corrida:
37 - Accuracy: 0.9999774774774774 (99.99774774774775%)
38 - F1-Score promedio: 0.9988605678081512
39 - Tiempo de entrenamiento: 50.22194457054138 segundos
40 - Tiempo de evaluacion: 1.3997457027435303 segundos
41 - Caracteristicas seleccionadas: 6
42 - Features utilizadas: [48, 1, 30, 1, 1, 36]
43
44 Comparacion de resultados:
45 =====
46 Metrica                                Profundidad 3    Profundidad 4
47 -----
48 Accuracy                              1.0000          1.0000
49 F1-Score                              0.9983          0.9989
50 Tiempo de Entrenamiento                48.9127          50.2219
51 Tiempo de Evaluacion                   1.4192          1.3997
52 Features Seleccionadas                  4                6
53
54 Resumen de mejores resultados:
55 - Mejor Accuracy: Profundidad 4
56 - Mejor F1-Score: Profundidad 4

```

De los resultados anteriores se puede observar el nuevo dataset que contiene un total de 88800 observaciones, 75 características y una distribución de clases de 87832 normales y 968 backdoor.

Finalmente se pudo determinar que en esta ejecución la profundidad 4 contiene un mejor accuracy y f1 score, con un tiempo de entrenamiento de dos segundos mayor y un tiempo de evaluación similar, esto en contraste con la profundidad 3. Los resultados finalmente son muy similares, inclusive el accuracy llega a ser 1 en ambos y el F1 diverge por un valor mínimo. Sin embargo si utiliza mas features en la profundidad cuatro que en la tres. Además de eso el rendimiento es similar por lo que para este

dataset es posible escoger elementos mas profundos ya que no existe una diferencia de rendimiento grande que pueda justificar el uso de una profundidad menor, aunque es posible si es necesario ya que el rendimiento es muy similar y para datasets mayores podría ser beneficioso a nivel computacional usar una menor profundidad.

Esta función nos permite ver que el árbol y sus funciones de entrenamiento, evaluación y métricas funcionan correctamente, generando datos útiles para poder mejorar el árbol y entender mejor que configuraciones y características son las mejores para este dataset, sin embargo se sabe que es necesario poder realizar un split para poder asegurar mejor su capacidad de generalización y concluir si existe overfitting o otros riesgos al árbol.

4.2. Evaluación de profundidad 2 y 3, con particiones de entrenamiento y prueba

Para esta prueba se dividió el dataset en un 70 % de entrenamiento y 30 % de prueba, esto con el fin de poder evaluar el árbol de decisión de una manera que se pueda comprobar su capacidad de generalización ante datos nunca antes vistos.

Ademas se realizan pruebas con 10 particiones aleatorias del conjunto de datos para una mayor verificación y una profundidad máxima de 2 y 3 nodos con el fin de experimentar el rendimiento del árbol. También se reportan las métricas necesarias como accuracy, f1 score, tiempo de entrenamiento, tiempo de evaluación, features seleccionadas y tiempo de ejecución, todo calculado por medio del promedio y la desviación estándar de todas las corridas.

Se generaron archivos XML que contienen la estructura de los arboles de decisión para cada mejor corrida, esto con el fin de poder visualizarlos.

En cuanto al código se desarrollaron multiples funciones para este efecto. La función 'single_run_evaluation' se encarga de realizar una corrida individual, para ello se le pasa un tensor, la profundidad máxima, la cantidad de observaciones mínima y un estado aleatorio con el fin de poder reproducir los experimentos si es lo deseado. La función va a poder partir los datos por medio de la librería SciKitLearn y su función train_test_split, esto con el fin de poder obtener los datos de entrenamiento y prueba, se convierten en tensores y se llama a la función de 'build_cart' y se construyen los objetos cart. Después de ello se llama a 'test_cart' para poder obtener el accuracy de la corrida y finalmente se generan las predicciones para cada observación y se calcula el f1 score, también la función retorna todas las métricas y el árbol para guardarlo para su uso posterior.

En la función 'evaluate_multiple_runs' se realiza el proceso de 10 corridas con diferentes particiones aleatorias del conjunto de datos, esta función orquesta el uso de la función 'single_run_evaluation' y se guardan los resultados en una lista, ademas de eso se calcula el mejor f1 score gradualmente guardando el mejor f1 score y el indice de la corrida que lo genero, reportando las métricas principales en stdout. Esta función al terminar su corrida se genera una lista de los valores de accuracy, f1 y tiempos de evaluación y entrenamiento, generando los promedios y desviación de los datos guardados en estas listas, los resultados de la mejor corrida y todos los resultados.

Finalmente el código en el notebook, se encarga de llamar a todas las funciones por medio de los parámetros requeridos como lo es la profundidad esperada y el numero

de corridas, se genera una tabla donde se observan mejor los resultados y se guardan en un XML los mejores arboles para cada profundidad de la corrida.

En el siguiente bloque se muestran los resultados de una prueba realizada en Google Colab:

```

1 Ejecutando 10 corridas con profundidad maxima = 2:
2 - Corrida 1/10... Acc: 0.9998498498498498, F1: 0.992499589920044
3 - Corrida 2/10... Acc: 0.9998873873873874, F1: 0.9943113327026367
4 - Corrida 3/10... Acc: 0.9999624624624625, F1: 0.9981037676334381
5 - Corrida 4/10... Acc: 0.9999624624624625, F1: 0.9981037676334381
6 - Corrida 5/10... Acc: 0.9999624624624625, F1: 0.9981179237365723
7 - Corrida 6/10... Acc: 0.9998873873873874, F1: 0.9943113327026367
8 - Corrida 7/10... Acc: 0.9998873873873874, F1: 0.9943537712097168
9 - Corrida 8/10... Acc: 0.9999624624624625, F1: 0.9981179237365723
10 - Corrida 9/10... Acc: 1.0, F1: 1.0
11 - Corrida 10/10... Acc: 0.9999624624624625, F1: 0.9981179237365723
12
13 Ejecutando 10 corridas con profundidad maxima = 3:
14 - Corrida 1/10... Acc: 0.9998498498498498, F1: 0.992499589920044
15 - Corrida 2/10... Acc: 0.9998873873873874, F1: 0.9943113327026367
16 - Corrida 3/10... Acc: 0.9999624624624625, F1: 0.9981037676334381
17 - Corrida 4/10... Acc: 0.9999249249249249, F1: 0.9962217509746552
18 - Corrida 5/10... Acc: 1.0, F1: 1.0
19 - Corrida 6/10... Acc: 0.9999249249249249, F1: 0.9961932301521301
20 - Corrida 7/10... Acc: 0.9998873873873874, F1: 0.9943537712097168
21 - Corrida 8/10... Acc: 0.9999624624624625, F1: 0.9981179237365723
22 - Corrida 9/10... Acc: 1.0, F1: 1.0
23 - Corrida 10/10... Acc: 1.0, F1: 1.0
24
25 Tabla de resultados (Promedio y Desviacion Estandar)
26 =====
27 Metrica Profundidad 2 Profundidad 3
28 -----
29 Accuracy Promedio: 0.9999 y Desviacion: 0.0000 Promedio: 0.9999 y Desviacion: 0.0001
30 F1-Score Promedio: 0.9966 y Desviacion: 0.0024 Promedio: 0.9970 y Desviacion: 0.0026
31 Tiempo de entrenamiento Promedio: 49.6658 y Desviacion: 0.1351 Promedio: 49.3974 y Desviacion: 0.6602
32 Tiempo de evaluacion Promedio: 1.0238 y Desviacion: 0.1602 Promedio: 1.0434 y Desviacion: 0.1286
33
34 Mejores resultados:
35 - Profundidad 2: Corrida 9 (F1-Score: 0.9966037333011627)
36 - Profundidad 3: Corrida 5 (F1-Score: 0.9969801366329193)
37
38 Mejor profundidad general: 3
39
40 Guardando arboles
41 - XML de arbol guardado en el archivo: mejor_arbol_profundidad_2.xml
42 - XML de arbol guardado en el archivo: mejor_arbol_profundidad_3.xml

```

De los resultados anteriores se observa que después de todas las corridas el mejor resultado es al utilizar la profundidad 3, ya que este contiene el mejor accuracy y f1 score promedio, sin embargo como se puede ver los resultados entre utilizar profundidad 2 y 3 son muy similares.

Estos resultados con un dataset de entrenamiento aparte indican que el modelo si podría tener un buen resultado al tratar de generalizar, ya que muchas corridas son casi perfectas y las validaciones generan muy poco margen de error.

Finalmente se genero un archivo XML de ambos nodos, a continuación se presenta un ejemplo del XML para el ejemplo de profundidad 3:

```

1 <node>
2   <thresh>0.5</thresh>
3   <feature>48</feature>
4   <depth>0</depth>
5   <gini>0.009892582893371582</gini>
6   <node>
7     <thresh>64.5</thresh>
8     <feature>1</feature>
9     <depth>1</depth>
10    <gini>0.49995195865631104</gini>
11    <node>
12      <thresh>373.5</thresh>
13      <feature>1</feature>

```

```

14         <depth>2</depth>
15         <gini>0.012861132621765137</gini>
16         <node>
17             <thresh>0</thresh>
18             <feature>0</feature>
19             <depth>3</depth>
20             <gini>0.0</gini>
21             <dominant_class>0</dominant_class>
22             <acc_dominant_class>None</acc_dominant_class>
23     </node>
24     <node>
25         <thresh>0</thresh>
26         <feature>0</feature>
27         <depth>3</depth>
28         <gini>0.006472349166870117</gini>
29         <dominant_class>1</dominant_class>
30         <acc_dominant_class>None</acc_dominant_class>
31     </node>
32 </node>
33 <node>
34     <thresh>0.004999999888241291</thresh>
35     <feature>30</feature>
36     <depth>2</depth>
37     <gini>0.013114213943481445</gini>
38     <node>
39         <thresh>0</thresh>
40         <feature>0</feature>
41         <depth>3</depth>
42         <gini>0.006622433662414551</gini>
43         <dominant_class>0</dominant_class>
44         <acc_dominant_class>None</acc_dominant_class>
45     </node>
46     <node>
47         <thresh>0</thresh>
48         <feature>0</feature>
49         <depth>3</depth>
50         <gini>0.5</gini>
51         <dominant_class>0</dominant_class>
52         <acc_dominant_class>None</acc_dominant_class>
53     </node>
54 </node>
55 </node>
56 <node>
57     <thresh>0</thresh>
58     <feature>0</feature>
59     <depth>1</depth>
60     <gini>0.0</gini>
61     <dominant_class>0</dominant_class>
62     <acc_dominant_class>None</acc_dominant_class>

```

63 </node>

64 </node>

En base a este árbol y la pregunta sobre el uso de Jensen-Shannon. Se podría decir que al seguir los resultados previos de la tabla de distancias se podrían usar solo las características que demuestren una dentro de un threshold específico podría reducir una gran cantidad de características, esto dando el beneficio de manejar menos características y por ende un menor tiempo de entrenamiento y evaluación, así como concentrarse en las características que realmente son relevantes para el modelo.

También otro beneficio es que al utilizar las características más significativas es posible que los splits sean más precisos, y se pueda tener una mejor solución al problema al encontrar los splits más rápidos y con menos profundidad.

En el caso de la 'early stopping' se puede utilizar esta distancia para determinar si es necesario seguir creando splits bajo características que no proveen una ganancia significativa, esto con el fin de evitar overfitting por ejemplo.

Finalmente utilizar esta distancia de Jensen-Shannon podría proveer de árboles más eficientes, simples, efectivos y enfocado en las características más relevantes para la tarea.